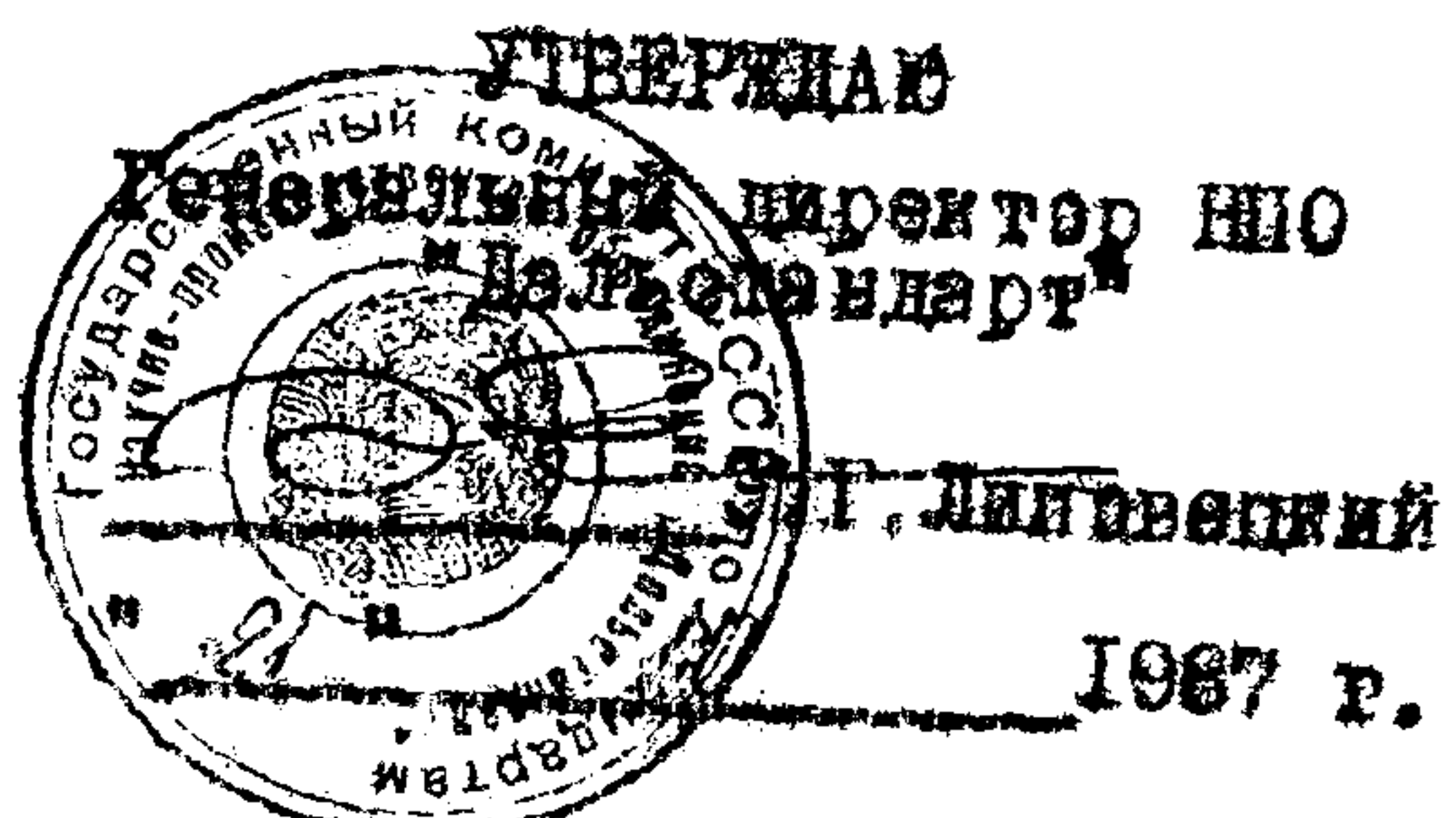


ГОСУДАРСТВЕННЫЙ КОМИТЕТ СССР ПО СТАНДАРТАМ

НПО "ДАЛЬСТАНДАРТ"



МЕТОДИЧЕСКИЕ УКАЗАНИЯ

"ГСИ. ОСНОВНЫЕ ПАРАМЕТРЫ ПРИЕМНЫХ ПРЕОБРАЗОВАТЕЛЕЙ
АКУСТИЧЕСКОЙ ЭМИССИИ. МЕТОДИКА ВЫПОЛНЕНИЯ ИЗМЕРЕНИЙ."

МИ 1786 -87

г. Хабаровск, 1987г.

РАЗРАБОТАНА НПО "Дальстандарт"

**ИСПОЛНИТЕЛИ Панин В.И. канд. техн. наук (руководитель темы);
Веретенникова И.А.**

УТВЕРЖДЕНА Секцией НТС 13 октября (протокол № 9)

Настоящие методические указания устанавливают методику выполнения измерений основных параметров приемных пьезопреобразователей (далее ПП) акустической эмиссии (далее АЭ) общего назначения, осуществляющих линейное преобразование сигнала, конструктивно осесимметричных, имеющих один электрический выход и одну контактную плоскую поверхность, при аттестации их органами метрологической службы, при разработке ПП АЭ и их исследованиях, при разработке методик контроля методом АЭ.

Контакт осуществляется через маслянистую жидкость. Погрешность аттестации не более 40% для любого из измеряемых параметров.

Термины, применяемые в настоящих МУ и их определения приведены в справочном приложении.

2. Средства измерений и вспомогательные устройства.

Средства измерений, применяемые для аттестации ППАЭ, делятся на три группы:

1. Меры амплитуд УЗ смещений.
2. Приборы для измерения электрических сигналов на выходе аттестуемых ППАЭ.
3. Средства регистрации.

2.1. Мера амплитуд УЗ смещений состоит из генератора (Γ), излучающего преобразователя (ИП), твердого тела меры (Т).

Конструктивное выполнение мер амплитуд УЗ смещений допускается в следующих вариантах:

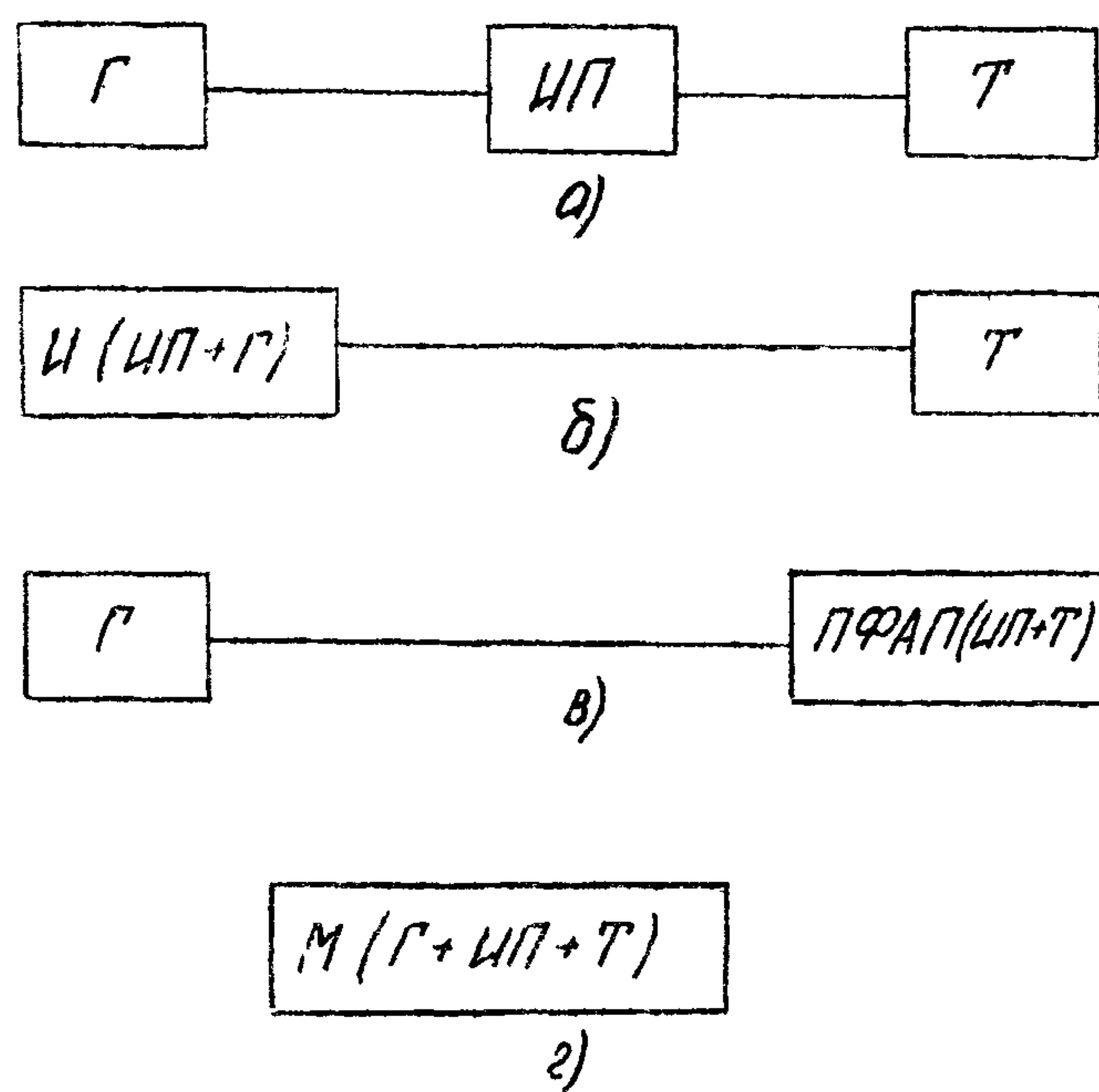


Рис. 1.

ПФАП – преобразователь-формирователь акустического поля.

В настоящей методике для аттестации ППАЭ рекомендуются меры амплитуд УЗ смещений в вариантах "в" и "г", при которых исключается погрешность акустического контакта между ИП и Т.

2.2. При выполнении измерений применяются измерительные приборы, средства регистрации, меры смещения, приведенные в таблице 2.

Таблица 2

Наименование	Тип, либо методологические характеристики	Наименование характеристики ШПАЭ, параметры которой измеряются			
		АЧХ	ИХ	ДН	СИ
1. Анализатор спектра	СК 4-59	да		да	
2. Осциллограф	СЛ-6Б		да	да	
3. Усилитель предварительный (высокочастотный)	Полоса частот $(0,01 \div 5)$ МГц Неравномерность АЧХ в полосе частот $(0,03 \div 2)$ МГц не более 3%. Усиление от I до 10 раз. Входное сопротивление не менее $100\text{k}\Omega$. Входная емкость не более 5 пФ. Погрешность аттестаций по коэффициенту усиления $\pm 5\%$.	да		да	

Продолжение табл.2

I	2	3	4	5	6
	Уровень собствен- ного шума, приведен- ного входу ний, не более $0,2 \mu\text{в}$ в полосе 1 кГц				
4. Графопост- роитель	И-306	да		да	
5. Генератор биполярных импульсов (радиоим- пульсов с одним периодом колебаний)	Г5-56 Выходы двух канала в запараллелены через разделятельные емкости (0,3÷1) мкФ		да		
6. Усилитель- ограничи- тель	Максимальный ко- эффициент усиле- ния ($40 \pm 0,5$) дБ Неравномерность АЧХ не более 2,5 дБ			да	
7. Полусфери- ческий об- разец	Радиус полусфе- ры (95÷140) мм Материал - Д16			да	
8. Измеритель импеданса	ВМ - 508 ВМ - 507			да	да

Продолжение табл. 2

	1	2	3	4	5	6
9. Мера сме- щения	МСУП		да	да		
10. Мера сме- щения	МСУД		да			
11. Мера сме- щения	МСУР		да			
12. Меры сме- щения	МСУС-М		да	да		

Примечание: 1. Допускается применение других приборов, взамен вышеуказанных, имеющих точность не хуже точности перечисленных приборов.

2. Полные характеристики мер и рекомендации по их применению приведены в справочном приложении 3.

3. МЕТОД ИЗМЕРЕНИЙ

3.1. Измерение АЧХ и её параметров следует выполнять методом при котором на аттестуемый ПП АЭ воздействуют калиброванным широкополосным шумом.

Для измерения импульсной характеристики и её параметров на аттестуемый ПП АЭ воздействуют калиброванным биполярным импульсом.

Примечание: 1. Широкополосный шум может быть заменен источником гармонического сигнала с постоянной амплитудой и с частотой, перестраиваемой в пределах рабочего диапазона измерений, если погрешность измерений параметров АЧХ не увеличивается.

2. Допускается использование метода сравнения с образцовым ультразвуковым (емкостным и т.п.) приемником ультразвука и метода взаимности (или самовзаимности), при этом погрешность измерения не должна превышать погрешности нормируемой в данной методике.

4. ТРЕБОВАНИЯ К ТЕХНИКЕ БЕЗОПАСНОСТИ

4.1. При работе с аппаратурой должны соблюдаться "Правила технической эксплуатации электроустановок потребителей" и "Правила техники безопасности при эксплуатации электроустановок потребителей", утвержденные Госэнергнадзором .

4.2. Работа с аппаратурой должна производиться в соответствии с требованиями безопасности, изложенными в инструкции по эксплуатации.

5. ТРЕБОВАНИЯ К КВАЛИФИКАЦИИ ОПЕРАТОРОВ.

5.1. К выполнению измерений и обработке результатов измерений могут быть допущены лица, имеющие среднее специальное образование в области радиотехнических измерений.

6. УСЛОВИЯ ВЫПОЛНЕНИЯ ИЗМЕРЕНИЙ

При проведении измерений должны быть соблюдены следующие условия:

6.1. Условия окружающей среды.

6.1.1. Температура окружающего воздуха $(20 \pm 5)^\circ\text{C}$.

6.1.2. Относительная влажность воздуха $(65 \pm 15)\%$.

6.1.3. Атмосферное давление (100 ± 4) кПа.

6.1.4. Вибрации, внешние электрические или магнитные поля должны отсутствовать, либо находиться в пределах, не увеличивающих погрешность измерений более чем на 2%.

6.2. Условия подключения аттестуемого ПП ПЭ к электрической цепи

6.2.1. Входное сопротивление, подключаемое к ПП АЭ приборов, должно быть высокоомным либо стандартным, образованным параллельным соединением емкости $C = 30$ пФ и сопротивления $R = 1$ МОм.

6.2.2. Если конструкция ПП АЭ предусматривает наличие соединительного кабеля длиной не менее 50 см,

все параметры измеряют с данным кабелем. Во всех остальных случаях измерение параметров ПН АЭ производят с сопротивительным кабелем, имеющим параметры:

- волновое сопротивление ($50 \pm 3,0$) Ом;
- емкость кабеля (60 ± 3) пФ.

6.3. Условия акустического контакта

6.3.1. Методы, устройства и материалы, используемые для реализации акустического контакта в рабочих измерениях, должны применяться при аттестации ПН АЭ.

6.3.2. При отсутствии информации по п.6.3.1 должны быть соблюдены следующие условия:

- в качестве контактной жидкости используют трансформаторное масло по ГОСТ 10121-76;
- усилие прижима от 1 до 50 Н при плотности усилия от 0,03 до 0,3 Н/мм², причем номинальное усилие прижима, выбираемое в данных пределах, должно соответствовать максимальной стабильности акустического контакта.

7. ПОДГОТОВКА К ИЗМЕРЕНИЯМ

При подготовке к выполнению измерений необходимо выполнить следующие работы:

7.1. Прогреть приборы, используемые при проведении измерений, согласно техническому описанию на приборы.

7.2. Выбрать оптимальный режим и диапазон работы приборов, при котором погрешность измерения имеет минимальное значение.

7.3. Контактную поверхность аттестуемого ПП АЭ и меры очистить от пыли, смазки чистой хлопчатобумажной ветошью и протереть спиртом этиловым техническим по ГОСТ 17299-78.

8. ВЫПОЛНЕНИЕ ИЗМЕРЕНИЙ.

При выполнении измерений основных параметров ППАЭ должны быть выполнены следующие операции:

8.1. Внешний осмотр.

8.1.1. При внешнем осмотре должно быть установлено, что ПП АЭ снабжен всеми необходимыми деталями, имеет маркировку (заводской номер, тип АЭ), а также паспорт или другой заменяющий его документ, свидетельство о последней аттестации.

8.1.2. ПП АЭ не должен иметь внешних повреждений, в том числе и в соединительных элементах.

8.1.3. Конструкция ПП АЭ также должна соответствовать требованиям, изложенным в назначении и в прил. З данной методики.

8.2. Опробование.

8.2.1. Подключить ППАЭ на вход осциллографа, установив максимально возможную чувствительность. Воздействуя на контактную поверхность ППАЭ механическими колебаниями (например

тронком или ударами карандаша), убедиться, что ПЛАЭ реагирует на эти колебания.

6.3. Измерение параметров ПЛАЭ.

Измерение параметров ПЛАЭ основано на определении коэффициентов преобразования ПЛАЭ по известным значениям амплитуд акустических и измеренным значением амплитуд электрических сигналов.

Параметры ПЛАЭ могут быть измерены непосредственно по прибору, либо по графику характеристики. Непосредственные измерения более точны.

Примечание: При наличии аттенюатора коэффициенты электроакустического и импульсного преобразования можно точнее определить по известному значению коэффициента электроакустического преобразования ПЛАЭ и измеренным значениям отношения электрических сигналов на входе ПФАП и выходе ПЛАЭ, производимых с помощью аттенюатора. Описание метода измерения с помощью аттенюатора и характеристики аттенюатора приведены в справочном приложении 5.

6.3.1. Для измерения АЧХ и ее параметров необходимо собрать схему по рис. 2.

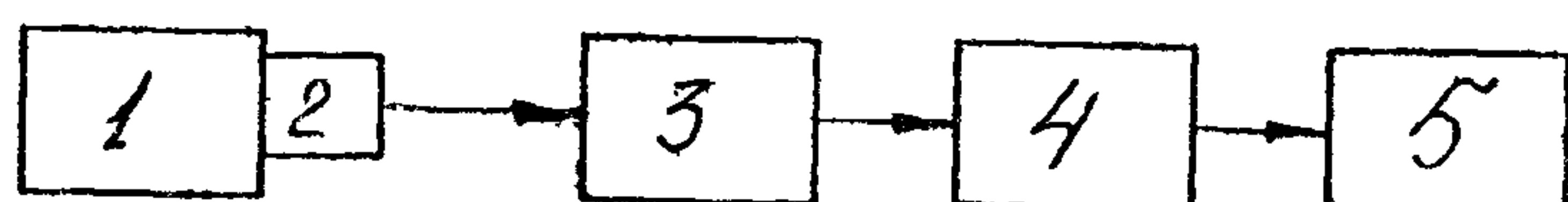


Рис.2

- 1 - мера смещения;
- 2 - аттестуемый ПЛАЭ;
- 3 - усилитель предварительный (высокоомный);
- 4 - анализатор спектра;
- 5 - двухкоординатный самописец.

Через слой контактной смазки аттестуемый ПП АЭ устанавливают на меру с помощью устройства крепления, поставляемого вместе с ПП АЭ, совмещая центр ПП АЭ с центром меры. Усилие прижима при аттестации должно соответствовать усилию прижима при рабочих измерениях с отклонением не более чем на $\pm 10\%$.

В случае, если устройство прижима не поставляется, а величина усилия не оговорена, необходимо выполнить условия п.6.3.2.

На анализаторе спектра устанавливают необходимую полосу обзора, при полосе пропускания 30 кГц – при измерении на мерах МСУП, МСУД, МСУР и 3 кГц – при измерении на мере МСУС. Устанавливают такую чувствительность анализатора, при которой рабочая область АЧХ занимает максимальное значение на экране ЭЛТ анализатора.

Если, в результате переустановки на мере аттестуемого ПП АЭ, значение измеряемого параметра изменяется в пределах половины ожидаемой погрешности, то достаточно трехкратного измерения (кроме п.8.3.1.4) с осреднением результата. В противном случае необходимо провести многократные (не менее 10) измерения с осреднением результата.

8.3.1.1. Для записи АЧХ устанавливают масштаб самописца таким образом, чтобы рабочая область АЧХ занимала все поле записи. При положении "одиночный запуск", самой медленной скорости развертки и самой узкой полосе видеоФильтра, произвести запись АЧХ ПП АЭ.

8.3.1.2. Частоту (для многорезонансных – частоты) максимума преобразования измеряют непосредственно анализатором спектра с помощью частотной метки в точке (точках), где АЧХ имеет максимальное значение.

8.3.1.3. Коэффициент преобразования резонансного ПП АЭ (коэффициенты – для многорезонансных) на частоте максимума преобразования определяют расчетным путем по формуле:

$$K = \frac{U_{\text{вых}}}{A} \cdot \frac{B}{m} , \quad (1)$$

где $U_{\text{вых}}$ - напряжение на выходе III АЭ на частоте максимума преобразования (отсчитывается по анализатору спектра с учетом коэффициента усиления предварительного усилителя), в

A - нормальная компонента смещения свободной поверхности меры (приводится в паспорте меры), м.

8.3.1.4. Погрешность, обусловленная нестабильностью акустического контакта III АЭ на уровне 2σ определяют по формуле:

$$\tilde{\delta}_{\text{акк}}^k = 2 \left[\frac{2}{n-1} \sum \left(\frac{U_i - \bar{U}}{\bar{U}} \right)^2 \right]^{1/2} \cdot 100\% \quad (2)$$

где n - число переустановок III АЭ на мере смещения,

\bar{U} - среднее арифметическое значение напряжения на клеммах аттестуемого III АЭ на частоте максимума преобразования,

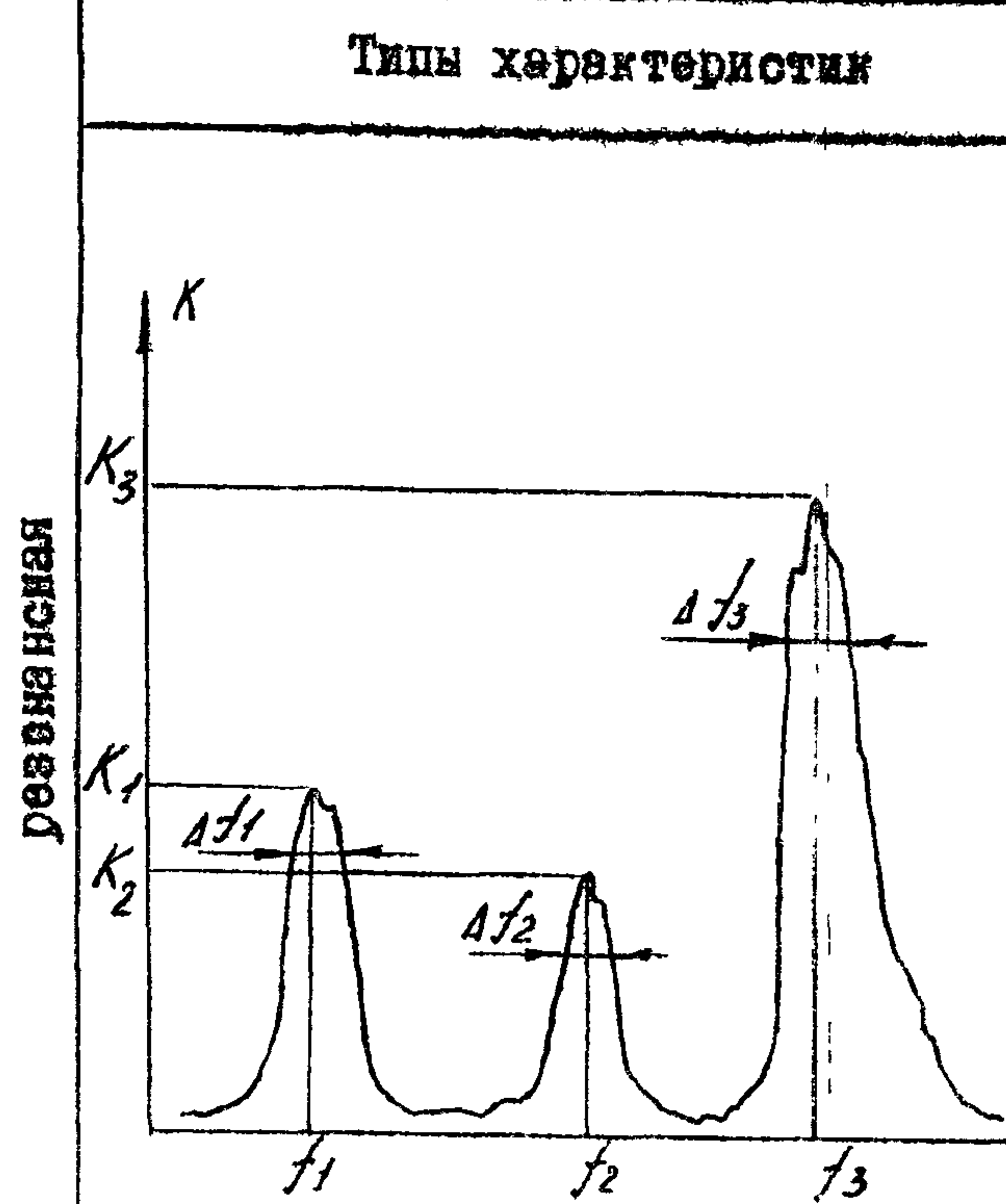
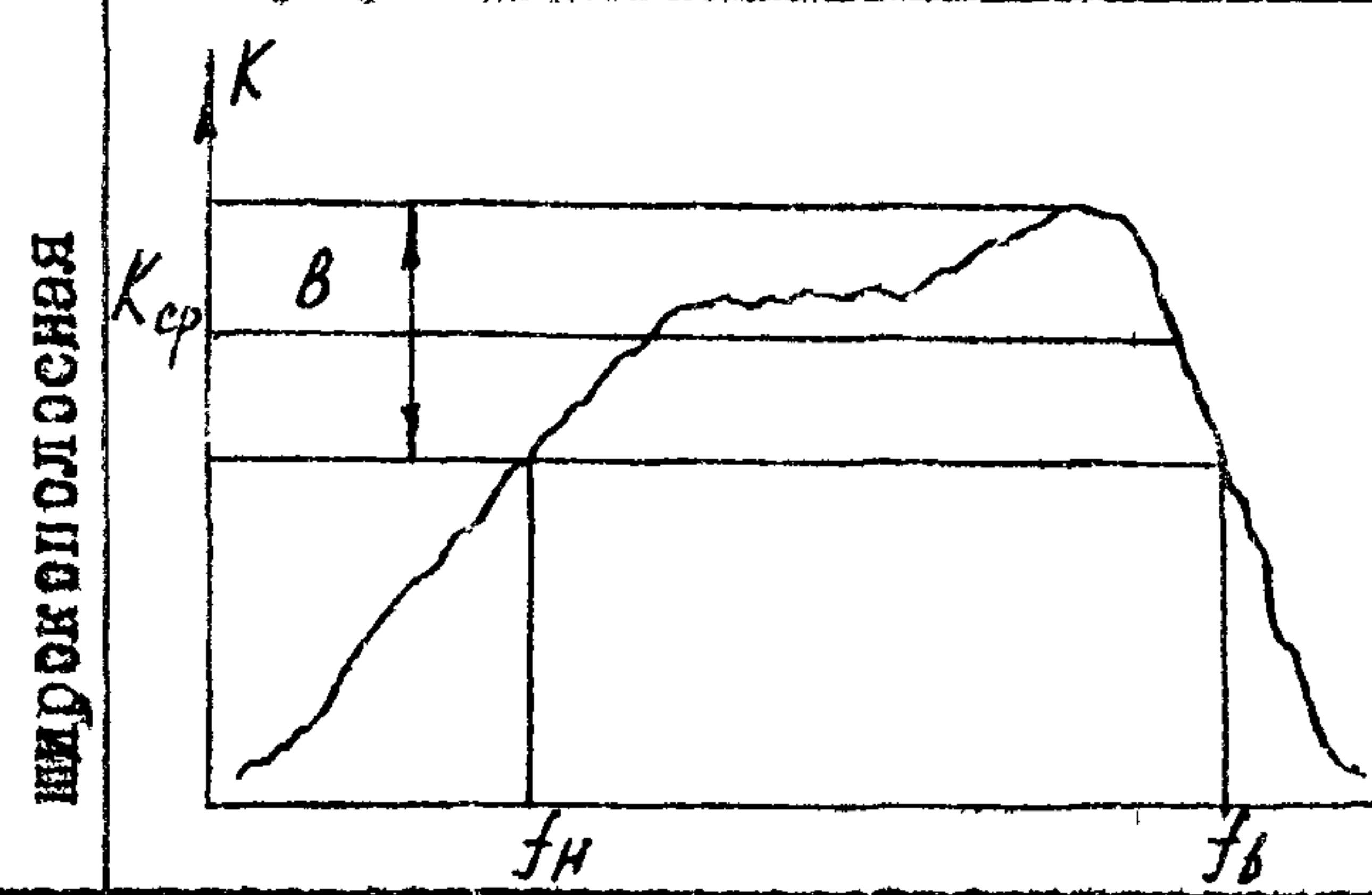
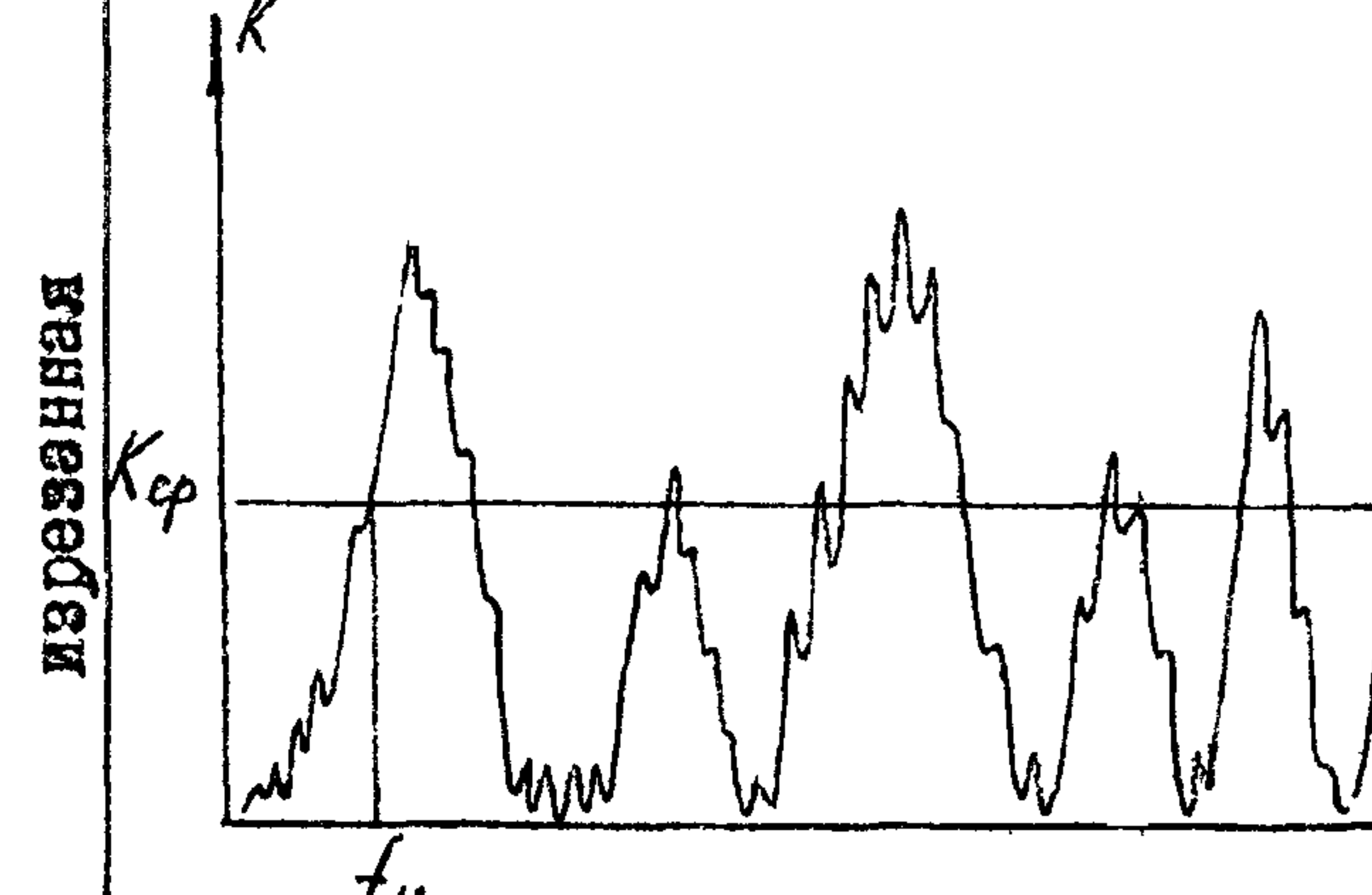
U_i - результат одного измерения на частоте максимума преобразования.

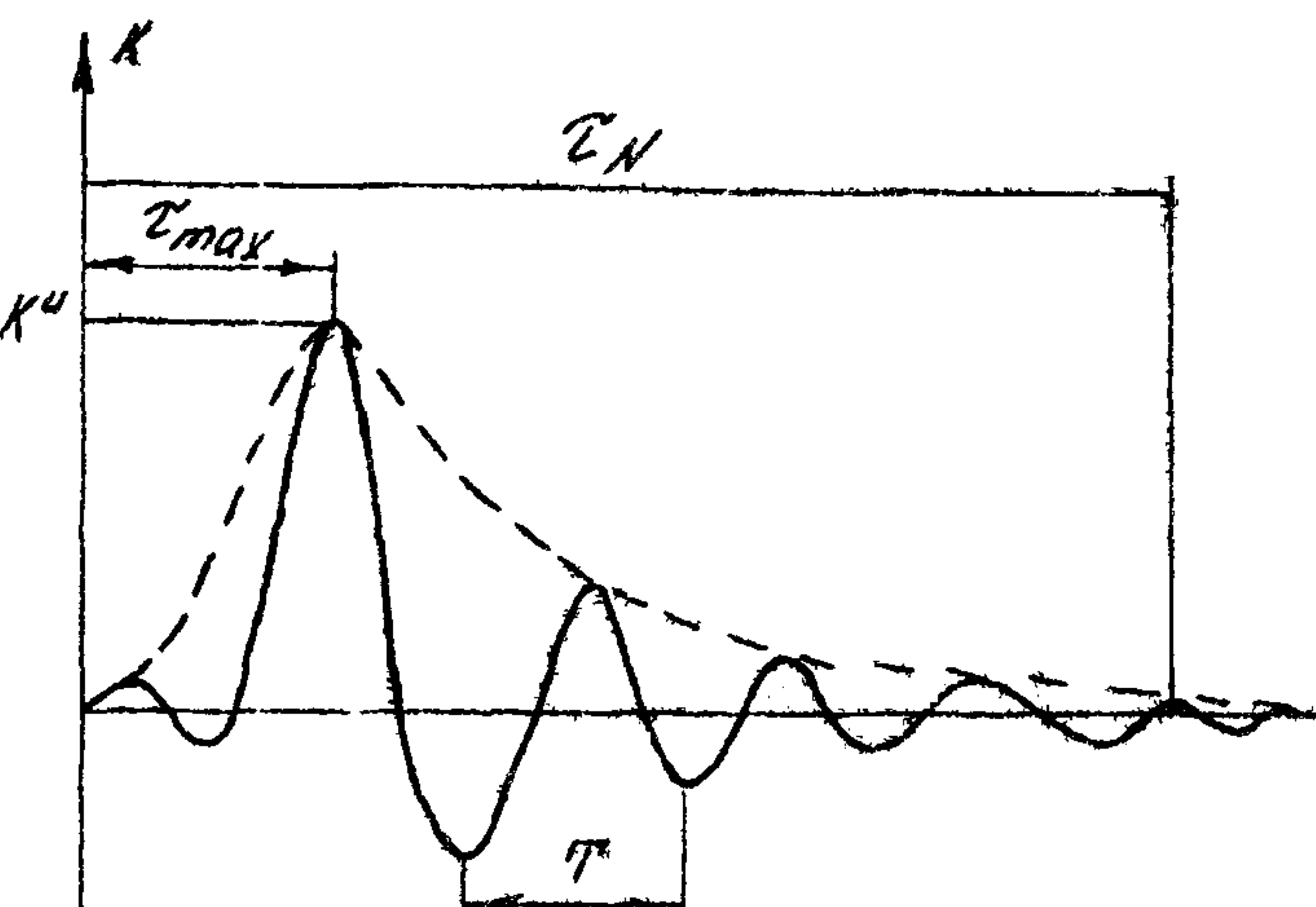
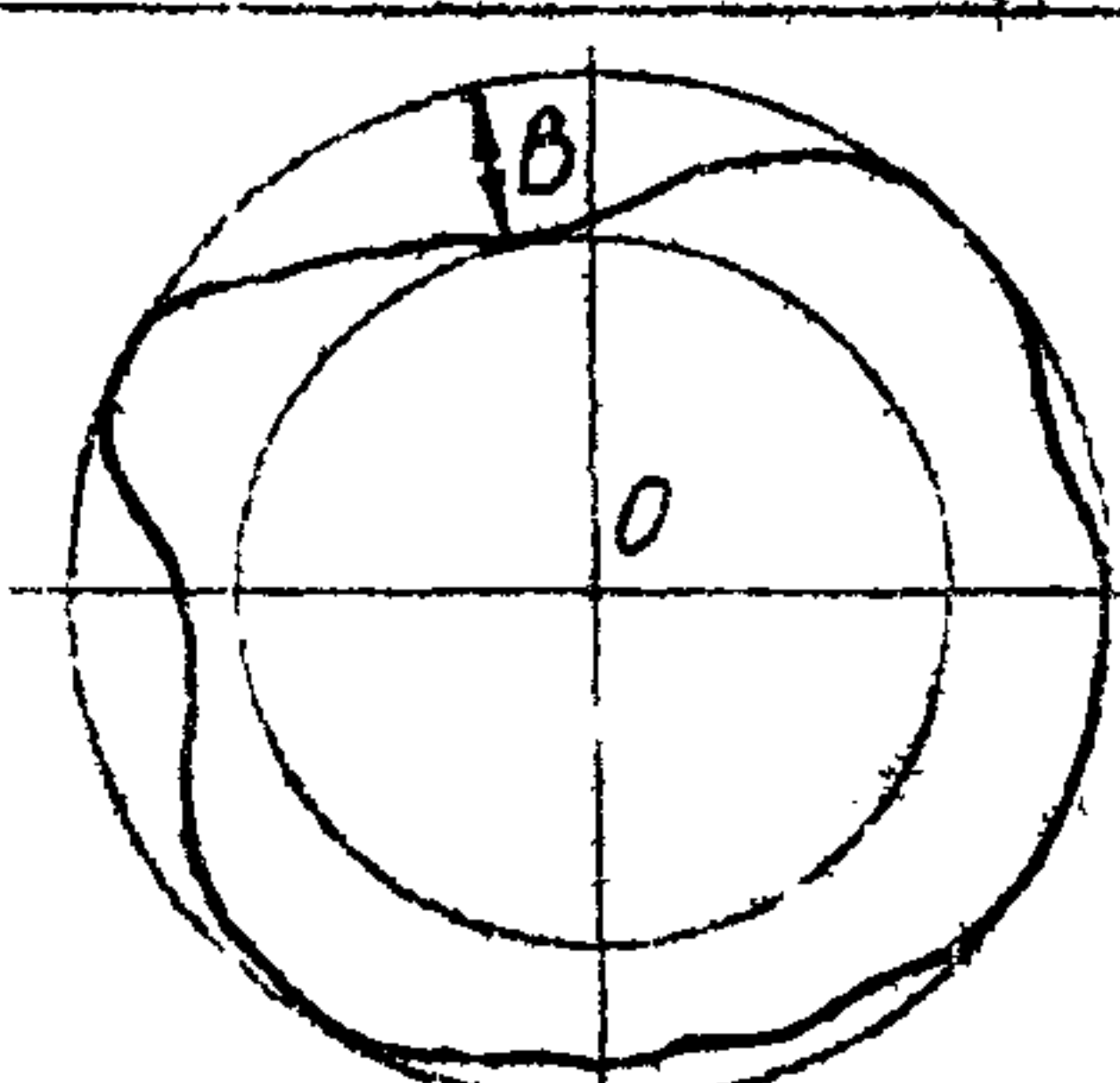
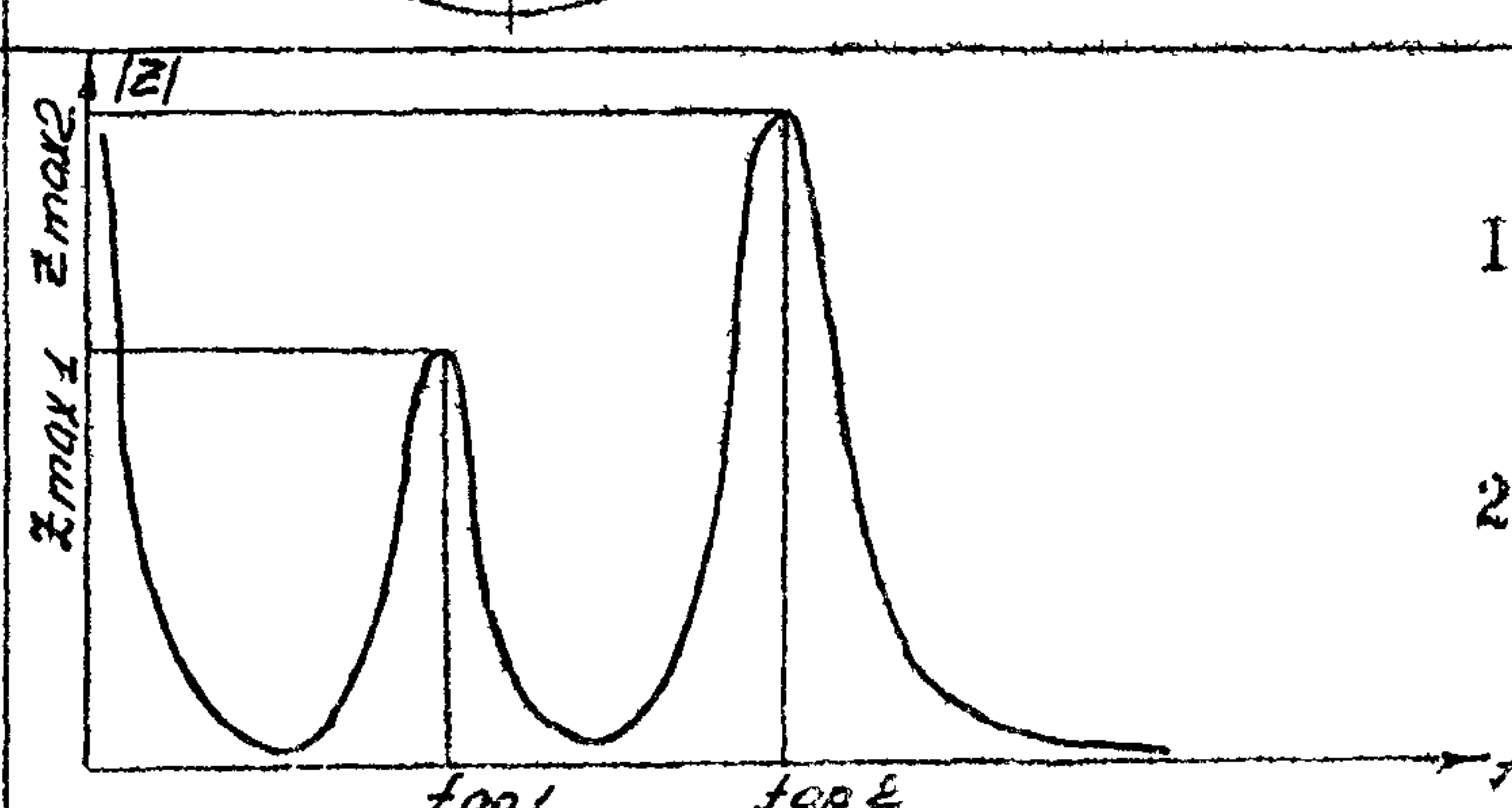
Величину $\tilde{\delta}_{\text{акк}}^k$ определяют по формуле (2), подставляя \bar{U} - среднее арифметическое значение максимальной амплитуды электрического отклика с выхода III АЭ, измеренное с помощью осциллографа, U_i - результат одного измерения максимальной амплитуды электрического отклика с выхода III АЭ.

8.3.1.5. Полосу (полосы - для многорезонансных) пропускания резонансного III АЭ измеряют непосредственно анализатором спектра, либо определяют по графику АЧХ на уровне 0,7.

1. Типы основных характеристик и параметров ПП АЭ

Таблица I

	Типы характеристик	Параметры характеристик
Амплитудно-частотная характеристика		<ol style="list-style-type: none"> Частоты максимумов преобразования f_1, f_2, f_3 Коэффициенты преобразования на частотах максимумов K_1, K_2, K_3 Погрешность, обусловленная вестабильностью акустического контакта δ_{akk}^K Налесы пропускания $\Delta f_1, \Delta f_2, \Delta f_3$ Уровень собственного шума ПП АЭ.
Частотно-импедансная		<ol style="list-style-type: none"> Рабочий диапазон частот f_b, f_H Средний коэффициент преобразования K_{cp} Неравномерность вnominalном диапазоне частот В
Измененная		<ol style="list-style-type: none"> Средний коэффициент преобразования K_{cp} вnominalном диапазоне частот

	Типы характеристик	Параметры характеристик
Импульсная характеристика		<ol style="list-style-type: none"> 1. Коэффициент импульсного преобразования K^M 2. Погрешность акустического контакта $\delta_{акк}^M$ 3. Длительность сгибающей переднего фронта T_{max} 4. Длительность импульсной характеристики T_N 5. Средняя частота заполнения $f_{зап} = \frac{1}{T}$
Акустическая неоднородность		<ol style="list-style-type: none"> 1. Неравномерность В 2. Акустический центр рабочей поверхности О
Электрический импеданс		<ol style="list-style-type: none"> 1. Частоты антирезонансов f_{anti1}, f_{anti2} 2. Модули электрических сопротивлений на частотах антирезонанса Z_{max1}, Z_{max2}

Примечания: 1. При обработке АЧХ широкополосных и резонансных ШИ необходимо, при наличии локальных неоднородностей, производить сглаживание АЧХ по ГОСТ 16123-79.

2. Коэффициенты преобразования ШИ АЭ выражены в абсолютных единицах В/м или В/(м/с).

Полоса пропускания равна

$$\Pi = f_B - f_H , \quad (3)$$

где f_B, f_H - краевые частоты, на которых амплитуда снижается до уровня 0,7 от максимального значения.

8.3.1.6. Собственный шум ППАЭ измеряют по схеме, приведенной на рис.2, но при этом на ППАЭ не подается акустический сигнал (ППАЭ - отключен от генератора электрических сигналов). Полоса пропускания анализатора спектра устанавливается равной 1 КГц.

Уровень собственного шума ППАЭ на частоте (частотах) максимума преобразования определяют расчетным путем по формуле:

$$A_{pl} = \sqrt{A_c^2 - A_{yc}^2} , \quad (4)$$

где A_c - измеренное по экрану анализатора, суммарное значение уровня шумов предварительного усилителя и аттестуемого ППАЭ (с учетом коэффициента усиления предварительного усилителя); A_{yc} - измеренное по экрану анализатора, значение уровня собственного шума усилителя закороченного по входу.

Примечание: Если $A_c - A_{yc} < 0,1 A_{yc}$, то уровень собственных шумов A_{pl} не рассчитывается, а его значение считается меньшим чем $A_{yc}/2$.

8.3.1.7. Рабочий диапазон частот широкополосных ППАЭ измеряют непосредственно анализатором спектра либо определяют, при заданной неравномерности, следующим образом:

На графике АЧХ параллельно оси абсцисс проводят линии, на уровне которых АЧХ снижается на величину заданной неравномерности от максимального значения АЧХ. Точки пересечения, проведенной линии, с АЧХ проектируют на ось абсцисс. Полученные значения f_H , f_B , соответствующие нижней и верхней границам рабочего диапазона частот.

8.3.1.8. Неравномерность амплитудно-частотной характеристики широкополосных ПНАЭ определяют как разность уровней наибольшего и наименьшего значений на графике анализатора либо на графике АЧХ в максимальном диапазоне частот.

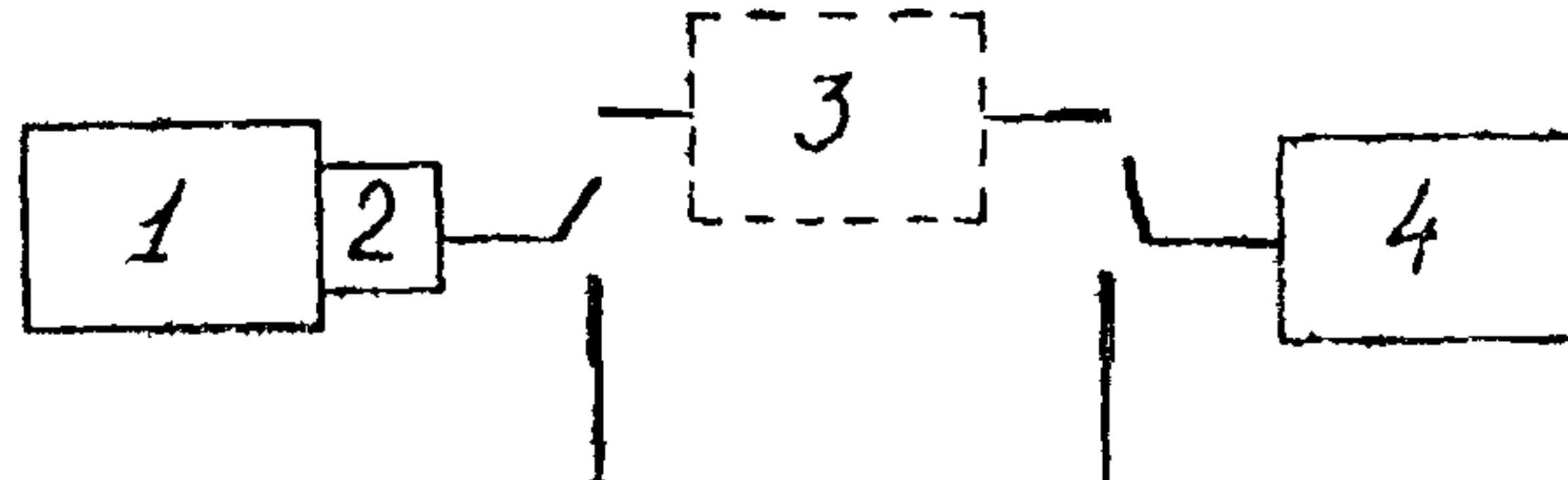
8.3.1.9. Средний коэффициент излучеакустического преобразования широкополосных и узкополосных ПНАЭ определяют по формуле:

$$K_{ср} = \frac{\sum K_i}{n}, \quad (5)$$

где K_i - значение АЧХ на частоте f_i .

$n > 10$ - число, равномерно расположенных отсчетов по частоте в рабочем или максимальном диапазоне частот.

8.3.2. Для измерения ИК в ее параметров необходимо собрать схему по рис. 3



1 - мера смещения,

Рис. 3

2 - излучающий ПНАЭ,

3 - предусилитель (используется для ПНАЭ с малым коэффициентом преобразования),

4 - осциллограф.

Частоту колебаний биполярного импульса (радиоимпульса с одним периодом) настраивают на частоту максимума преобразования

ПЛАЭ. Устанавливают амплитуду А биполярного акустического импульса, равную целочисленному значению. На экране осциллографа наблюдают импульсную характеристику ПЛАЭ.

8.3.2.1. Коэффициент импульсного преобразования определяют по формуле:

$$K' = \frac{U_{max}}{A} \text{ В/м}, \quad (6),$$

где U_{max} - измеренная с помощью осциллографа максимальная амплитуда электрического отклика с выхода ПЛАЭ, в.

А - амплитуда акустического биполярного импульса, м.

Длительность отклика измеряют на уровне $0,5 U_{max}$. Если измеряют коэффициент импульсного преобразования широкополосного ПЛАЭ, то частоту колебаний биполярного импульса устанавливают равной средней частоте рабочего диапазона ПЛАЭ.

8.3.2.2. Длительность отбивной переднего фронта t_{max} , длительность импульсной характеристики t_N , среднюю частоту заполнения $f_{ зап} = \frac{1}{T}$ определяют по экрану осциллографа.

8.3.3. Измерение ДИ и ее параметров.

8.3.3.1. Для измерения акустического центра контактной поверхности собирают схему по рис. 4.

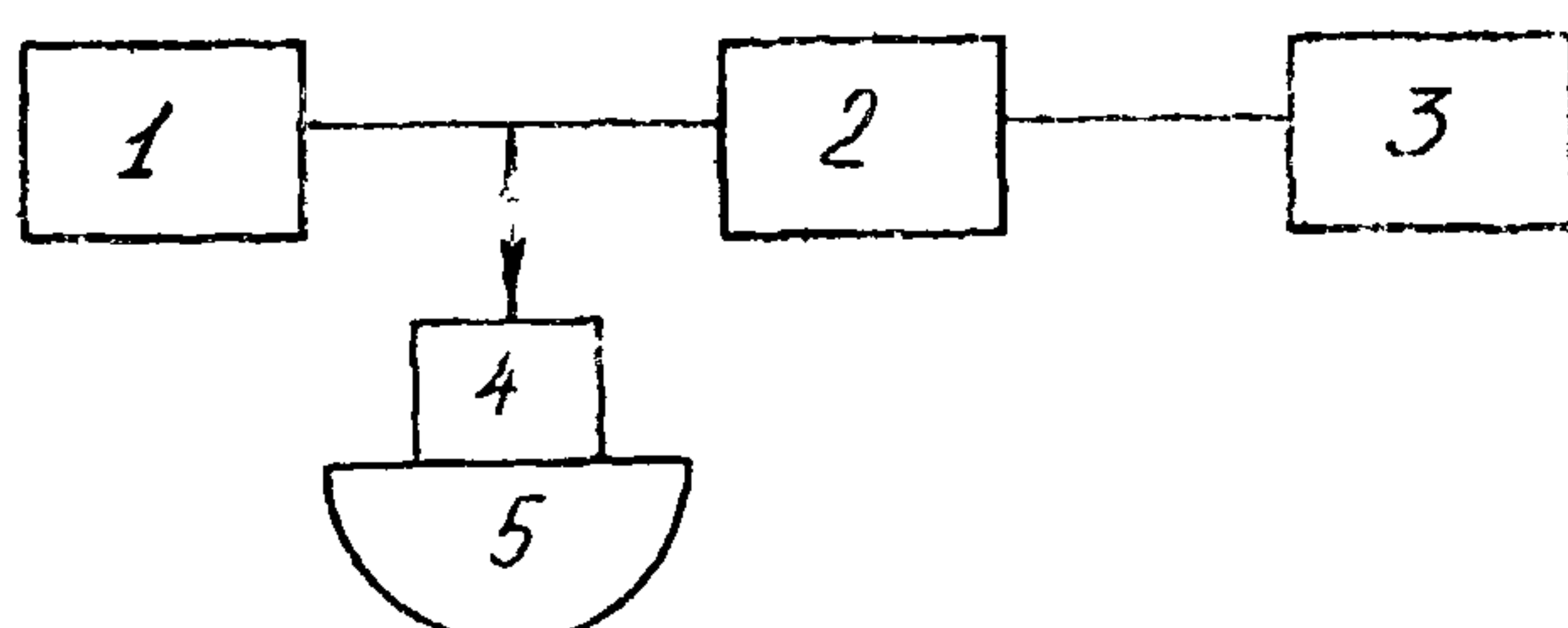


Рис.4

1 - генератор биполярных импульсов, 2 - усилитель-ограничитель, 3 - осциллограф, 4 - аттестуемый ПЛАЭ, 5 - полусферический образец.

Аттестуемый ПЛАЭ устанавливают на полусферу. Длительность импульса генератора устанавливают равной $\frac{1}{f_i}$, для резонансных

ПЛАЭ (f - частота резонанса) и разной $\|f\|_{fp}$, для широковолновых ПЛАЭ (f_{cp} - средняя частота рабочего диапазона ПЛАЭ). Периодическая ПЛАЭ по поверхности полусфера, добиваясь максимального значения амплитуды первого «когерентного» от сферической поверхности. При этом акустический центр контактной поверхности ПЛАЭ совпадает с геометрическим центром поверхности полусферического образца.

8.3.3.2. Неравномерность круговой диаграммы направленности резонансных ПЛАЭ измеряют по схеме рис. 5.

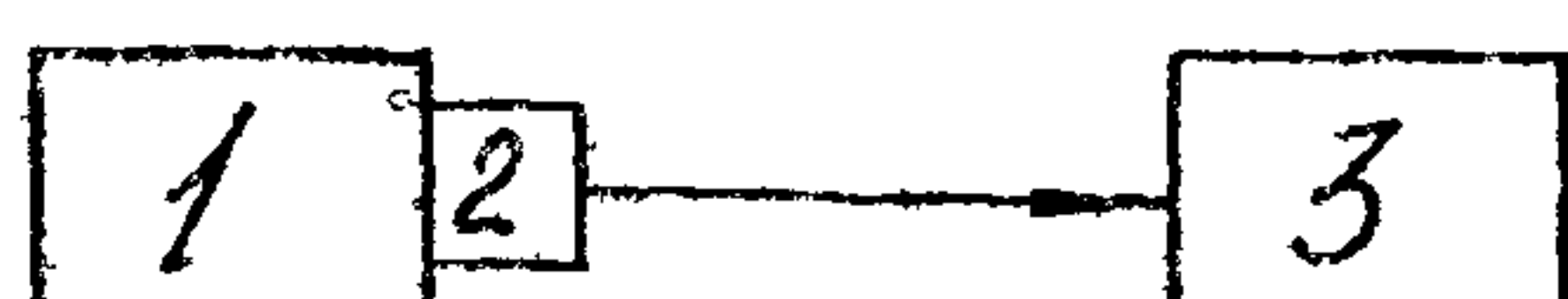


Рис. 5

1 - мера смещения МСУР, 2 - аттестуемый ПЛАЭ, 3 - анализатор спектра.

Аттестуемый ПЛАЭ вращают относительно геометрического центра контактной поверхности, если расстояние между акустическим и геометрическим центрами контактной поверхности не превышает 5 мм. В противном случае, ПЛАЭ вращают вокруг акустического центра. Неравномерность угла разности наибольшего и наименьшего значений сигнала на частоте резонанса.

8.3.3.3. Диаграмму направленности резонансных ПЛАЭ измеряют (по схеме рис. 5) на частоте (частотах) резонанса. ПЛАЭ вращают относительно акустического центра, фиксируя положение через 30° , и определяют в каждой точке уровень сигнала по анализатору спектра.

8.3.3.4. При измерении диаграммы направленности широкополосных ПЛАЭ в каждой точке (через 30°) определяют средний коэффициент зашумленности преобразователя в рабочем

диапазоне частот аналогично п. 5.3.1.1.7.

8.3.3.5. В полярных координатах строят графическое изображение диаграммы направленности, соединяя линией кривой экспериментальную точку.

8.3.3.6. Норавномерность диаграммы направленности широкополосных ПЛАЭ определяют по графику ДН. Присоединят две окружности: первую - с радиусом, равным максимальному значению коэффициента преобразования, вторую - с радиусом, равным минимальному значению коэффициента преобразования. Норавномерность равна разности уровней наибольшего и наименьшего значений коэффициента электрического преобразования.

Примечание: В случае, если излучающий ПЛАЭ обладает ДН с резкой пространственной норавномерностью, то его врашают относительно акустического центра, фиксируя отсчеты значений ДН через $5-10^{\circ}$.

8.3.4. Измерение электрического индикатора и его параметров.

Собирают схему рис. 6.

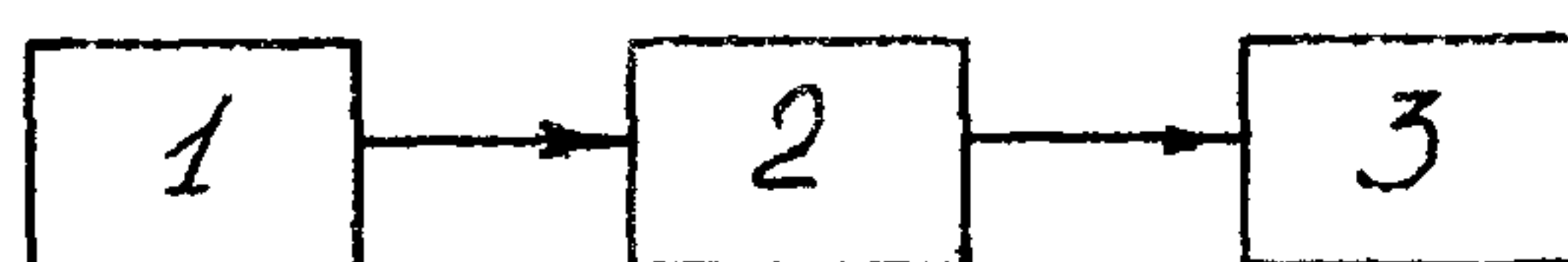


Рис. 6.

1 - автостабильный ПЛАЭ, 3 - осциллограф, 2 - измеритель индикатора.

Задавать частоту электрического индикатора от частоты зависит с помощью самонавеса. Параметры электрического индикатора можно определить по графику ЭИ, либо измерить с помощью измерителей индикаторов согласно инструкции по его эксплуатации.

9. ОПРЕДЕЛЕНИЕ ПОГРЕШНОСТЕЙ ПРИ ИЗМЕРЕНИИ ПАРАМЕТРОВ ПЛАЗ

При определении относительных погрешностей не учитывается составляющая, суммарный вклад которых не превышает 1/3 от погрешности, при использовании рекомендованных средств измерений.

9.1. Погрешность измерения параметров АЧХ и ИХ.

9.1.1. Погрешность измерения частоты (частот) максимума преобразования установленных ШИАЭ на уровне 2б при n измерениях вычисляется по формуле:

$$\delta_f = \frac{2}{\sqrt{n}} \left[\frac{1}{n-1} \sum_{i=1}^n \left(\frac{f_i - \bar{f}}{\bar{f}} \right)^2 \right]^{1/2} \cdot 100\%, \quad (6)$$

где n – число измерений, \bar{f} – среднее арифметическое значение частоты (частот) максимума преобразования, f_i – результат одного измерения.

9.1.2. Погрешность коэффициента преобразования на частоте (частотах) максимума преобразования определяется выражением:

$$\delta_K = \sqrt{\delta_M^2 + (\delta_{M,44X}^4)^2 + (\delta_{AH}^4)^2 + (\delta_{OKK}^4)^2 + \delta_{US}^2 + \delta_Z^2}, \quad (7)$$

где δ_M – погрешность меры смещения по амплитуде,

$\delta_{M,44X}^4$ – погрешность за счет неравномерности АЧХ меры (приложение 3),

δ_{AH}^4 – погрешность измерения измерения анализатором спектра,

δ_{OKK}^4 – погрешность акустического контакта. На уровне 2б,

при n – измерениях, величина δ_{OKK}^4 вычисляется по формуле:

$$\delta_{OKK}^4 = \frac{2}{\sqrt{n}} \left[\frac{1}{n-1} \sum_{i=1}^n \left(\frac{U_i - \bar{U}}{\bar{U}} \right)^2 \right]^{1/2} \cdot 100\%, \quad (8)$$

где n – число измерений,

\bar{U} – среднее арифметическое значение измерения на каскадах аттестуемого ШИАЭ,

U_i – результат одного измерения,

δ_{US} – погрешность коэффициента усиления предварительного усилителя (см. табл. 2),

δ_Z – погрешность за счет конечности входного сопротивления высокосимметричного преобразователя, вычисляется по формуле:

$$\delta_z = \left| 1 - \frac{Z_{\text{вых.} \text{ус}}}{Z_{\text{вых.} \text{ус}} + Z_{\text{ПЛАЭ}}} \right| \cdot 100\%, \quad (9)$$

где $Z_{\text{вых.} \text{ус}}$ - входное сопротивление высокосимметричного предуслышителя,
 $Z_{\text{ПЛАЭ}}$ - сопротивление атестуемого ПЛАЭ.

9.1.3. Погрешность полосы пропускания определяется выражением:

$$\delta_{\text{пп}} = \sqrt{(\delta_{\text{АН}}^n)^2 + (\delta_{\text{ОК.К.}}^n)^2}, \quad (10)$$

где $\delta_{\text{АН}}^n$ - погрешность измерения полосы частот анализатором спектра;

$\delta_{\text{ОК.К.}}^n$ - погрешность акустического контакта, определяется по формуле (6) с заменой частоты f на полосу пропускания П.

9.1.4. Погрешность рабочего диапазона частот широкополосных ПЛАЭ определяется выражением:

$$\delta_{\text{д.н.}} = \sqrt{\operatorname{ctg}^2 \alpha_H [(\delta_m^{A\text{ЧХ}})^2 + (\delta_{AH}^{A\text{ЧХ}})^2 + \delta_{\text{ОК.К.}}^2] + (\delta_{AH}^f)^2}, \quad (11)$$

$$\delta_{\text{д.в.}} = \sqrt{\operatorname{ctg}^2 \alpha_B [(\delta_m^{A\text{ЧХ}})^2 + (\delta_{AH}^{A\text{ЧХ}})^2 + \delta_{\text{ОК.К.}}^2] + (\delta_{AH}^f)^2}, \quad (12)$$

где $\delta_{\text{д.н.}}$, $\delta_{\text{д.в.}}$ - соответственно погрешности нижней и верхней границ рабочего диапазона частот; $\operatorname{ctg} \alpha_H$, $\operatorname{ctg} \alpha_B$ - соответственно котангенсы угла наклона АЧХ в точках пересечения АЧХ с линией, на уровне которой АЧХ снижается на величину заданной неравномерности;

$\delta_m^{A\text{ЧХ}}$ - погрешность из-за неравномерности АЧХ;

$\delta_{AH}^{A\text{ЧХ}}$ - погрешность измерения АЧХ анализатором спектра;

$\delta_{\text{ОК.К.}}^f$ - погрешность акустического контакта определяется по формуле (10) на частотах f_H и f_B ;

δ_{AH}^f - погрешность измерения частоты анализатором спектра.

9.1.5. Погрешность неравномерности АЧХ широкополосных ПЛАЭ определяется выражением:

$$\delta_B = \sqrt{(\delta_m^{A\text{ЧХ}})^2 + (\delta_{AH}^{A\text{ЧХ}})^2 + (\delta_{\text{ОК.К.}}^B)^2 + (\operatorname{tg} \delta \cdot \delta_{AH}^n)^2}, \quad (13)$$

где $\delta_m^{A\text{ЧХ}}$ - погрешность за счет неравномерности АЧХ мерн.,

$\delta_{AH}^{A\text{ЧХ}}$ - погрешность измерения анализатором спектра АЧХ ПЛАЭ;

$\delta_{\text{ОК.К.}}^B$ - погрешность за счет влияния акустического контакта на величину неравномерности В;

$\operatorname{tg} \delta$ - максимальный тангенс угла наклона АЧХ на нижней
 или на верхней границах рабочего диапазона частот;
 δ_{AH}^{π} - погрешность измерения полосы пропускания анализа-
 тором спектра.

9.1.6. Погрешность коэффициента импульсного преобразования определяется выражением:

$$\delta_K^U = \sqrt{\delta_M^2 + (\delta_{oc}^U)^2 + (\delta_{AKK}^U)^2 + \delta_{yc}^2 + \delta_z^2}, \quad (I4)$$

где δ_M - погрешность меры смещения;

δ_{oc}^U - погрешность измерения напряжения осциллографом;

δ_{yc} - погрешность предварительного усилителя;

δ_{AKK}^U - погрешность акустического контакта;

δ_z - погрешность за счет конечности входного сопротивления высокочастотного усилителя.

9.1.7. Погрешность измерения длительности огибающей переднего фронта, длительности импульсной характеристики, средней частоты заполнения определяется выражением:

$$\delta_T = \sqrt{\delta_{oc}^2 + (\delta_{AKK}^f)^2}, \quad (I5)$$

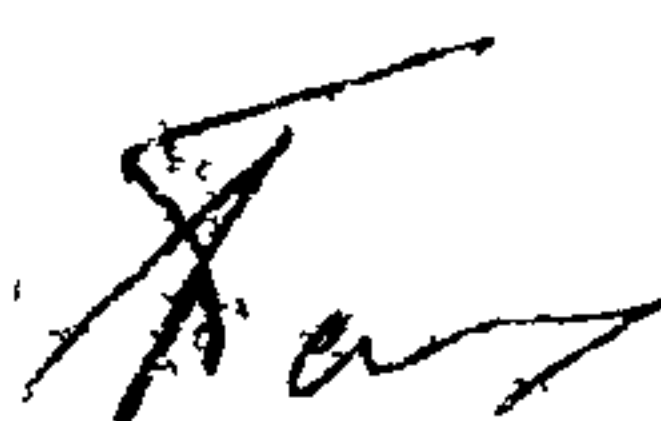
где δ_{oc} - погрешность измерения длительностей осциллографом;

δ_{AKK}^f - погрешность акустического контакта;

10. ОФОРМЛЕНИЕ РЕЗУЛЬТАТОВ ИЗМЕРЕНИЙ

10.1. Результаты измерений магнитных характеристики аттестуемого ПМЭ заносят в протокол, составленный по форме, приведенной в ГОСТе 8.326-78.

10.2. На каждый аттестуемый ПМЭ оформляют свидетельство об аттестации по форме, приведенной в ГОСТе 8.326-78.

Руководитель темы  Панин В.И.

Ответственный исполнитель  Веретеникова И.А.

Приложение I
(справочное)

Определение терминов, встречающихся в МУ

№ п/п	Термин	Условное обознач.	Определение
1	2	3	4
1.	Амплитудно-частотная характеристика	АЧХ	Амплитудно-частотная характеристика определяется как зависимость коэффициента преобразования от частоты
2.	Рабочий диапазон частот		Диапазон частот, в пределах которого коэффициент преобразований не выходит за пределы заданных допусков
3.	Номинальный диапазон частот		Диапазон частот, в котором нормируются параметры ПЛАЭ, установленные в стандартах или технических условиях на ИСК
4.	Полоса пропускания резонансных ПЛАЭ	Δf	Интервал частот, в пределах которого коэффициент электроакустического преобразования сдвигается на 3дБ от стоячей волны на частоте максимума преобразования
5.	Коэффициент преобразования	K	Отношение уровней электрического сигнала на выходе ПЛАЭ к уровню ультразвукового сигнала на входе ПЛАЭ

I	2	3	4
6.	Частота максимума преобразования	f_1	Частота, на которой коэффициент электрояустического преобразования имеет максимальное значение
7.	Неравномерность амплитудно-частотной характеристики	B	Разность уровней наибольшего и наименьшего значений коэффициента электрояустического преобразования вnomинальном диапазоне частот
8.	Средний коэффициент преобразования	$K_{ср}$	Среднее гармоническое значение коэффициента преобразования в рабочем илиноминальном диапазоне частот
9.	Импульсная характеристика		Электрическое напряжение в единицах времени на выходе ПАЭ при возбуждении его биполярным импульсом
10.	Коэффициент импульсного преобразователя	K^u	Степенное максимального значения огибающей электрического сигнала на выходе ПАЭ к амплитуде сигнала
II.	Длительность огибающей переднего фронта	$T_{тод}$	Временной интервал между началом огибающей импульсной характеристики и ее максимальным значением
12.	Длительность импульсной характеристики	T_N	Длительность огибающей импульсной характеристики на уровне 20 дБ от максимального значения
13.	Средняя частота заделки	T	Средняя частота колебаний в пределах длительности импульсной характеристики
14.	Диаграмма направленности в плоскости рабочей поверхности	P	Нормированный по максимуму график зависимости коэффициента преобразования в функции от угла поворота приемника вокруг своего акустического центра рабочей поверхности при испытании излучателем, либо от угла поворота излучателя вокруг акустического центра рабочей поверхности приемника при испытании

I 2

3

4

15. Электрический импеданс

Зависимость от частоты ком-
плексного электрического
сопротивления ПП АЭ

16. Частота резонанса

f_p

Частота, на которой импе-
дансе имеет минимальную по
модулю величину

17. ПЛАЭ общего значения

ПЛАЭ, в стандартах и техни-
ческих условиях на который
не устанавливается, с каким
конкретным типом (типов)
не применяется.

18. ПФАП-П

Преобразователь-формирователь
акустического поля продольной
волны

19. ПФАП-С

Преобразователь-формирователь
акустического поля стеречно-
вой продольной волны

20. ПФАП-Д

Преобразователь-формирователь
диффузного акустического поля

21. ПФАП-Р

Преобразователь-формирователь
акустической изврежностной
волны с квазирелевским дви-
жением частиц

22. ГКШ

Генератор корректированного
шума, форма спектра которого
обратна форме АЧХ ПФАП

Приложение 2
(справочное)

Акустические характеристики
некоторых материалов

Материал	Скорость звука, м/сек	Модуль упругости, $\text{ТН} \cdot 10^{10}$	Плотность $\text{кг}/\text{м}^3$	Коэффициент Пуассона	Удельное акустическое сопротивление $\cdot 10^6$ $\text{кг}/\text{м}^2 \cdot \text{с}$
Продольные волны ! Сдвиговые волны ! волны ! С _{пр}	Сдвиговые волны ! С _{сдв}	Предельные волны ! С _{ст}	Модуль упругости $\text{кг}/\text{м}^2$	Плотность $\text{кг}/\text{м}^3$	Коэффициент Пуассона
Алюминий	6250- 6450	3130	5240	7,1	2,7
Титан	5950- 6300	3500	5072	19,8	4,5
Чугун	3500- 5600	2200- 3200		11,7	7,7
Сталь	5700- 6000	2950- 3300	5000- 5200	16,0-20,0 7,8-8,4	0,26-0,29 42,0-45,9
ЦС-19	3000- 3600			5,5-8,5	7,33
Свинец	2160- 2700		1200	1,6	11,34
					0,446
					24,4-30,5

Приложение 3
(справочное)

Основные технические характеристики
мер смещений

Основные технические характеристи- ки мер УЗ смещений	Рекомендуемые меры ИЗ смещений, применяемые при:				
	1	2	3	4	5
	аттестации ПШЭ, установленных на торце объекта контроля, к которому подбогают привычные основания из АЭ	аттестации ПШЭ, установленных на объекте контроля ближайшей геометрической формы, имеющей разные, и некоторых из которых может состоять из прямолинейных АЭ	аттестации ПШЭ, установленных на поверхности листовых инструментов	аттестации ПШЭ, установленных на торце стержневого образца	
1. Наименование меры	МСУП	МСУД	МСУР	МСУС-М	
2. Состав меры УЗ смещений	ПФАП-П в комплекте с ГКШ или аттестации генератором САЧ-59 в непрерывном режиме, подключением через радиоустановленный (<50мм) делитель; ПФАП-П в комплекте с Г5-56 в импульсном режиме	ПФАП-Д в комплекте с ГКШ	ПФАП-Р в комплекте с ГКШ	ПФАП-С в комплекте с САЧ-59 в непрерывном режиме ПФАП-С в комплекте с Г5-56 в импульсном режиме	
3. Тип ведущего воздействия	Продольная объемная акустическая волна	Диффузное акустическое поле	Акустическая поверхность волна с квазирелаксационным движением частиц	Продольная стержневая акустическая волна	
4. Направление	По нормали к рабочей поверхности всех направлений	Равнозначно со всеми направлениями	Сбоку к рабочей поверхности ПШЭ	По нормали к рабочей поверхности	

	1	2	3	4	5
	ПЛАЭ	ложий		ПЛАЭ	
5. Величина амплитуды УЗ смещений	не менее 10^{-11} м	не менее 10^{-13} м	не менее 10^{-13} м	не менее 10^{-11} м	
6. Рабочий диапазон частот	$(0,2+1,7)$ МГц	$(0,2+2)$ МГц	$(0,5+1,5)$ МГц	$(0,02+0,25)$ МГц при диаметре меры 6 мм $(0,01+0,15)$ МГц при диаметре меры 10 мм $(0,02+0,45)$ МГц при диаметре меры 3 мм	
7. Диапазон длительности импульсов биполярной формы	$(0,5+5)$ мкс			$(5+30)$ мкс при диаметре меры 6 мм $(8+40)$ мкс при диаметре меры 10 мм $(2+30)$ мкс при диаметре меры 3 мм	
8. Неравномерность АЧХ меры	± 2 дБ	± 2 дБ	± 2 дБ	± 2 дБ	
9. Погрешность меры	30%	30%	30%	30%	
10. Погрешность ПФАП	25%	25%	25%	20%	
II. Неравномерность АЧХ ПФАП	± 3 дБ	± 6 дБ	± 6 дБ	± 3 дБ	
I2. Неравномерность смещений эффективной поверхности в:					
- непрерывном режиме	± 6 дБ	± 3 дБ	± 3 дБ	$\pm 1,5$ дБ	
- импульсном режиме	$\pm 1,5$ дБ	-	-	$\pm 0,5$ дБ	
I3. Неравномерность АЧХ	± 1 дБ	-	-	$\pm 0,5$ дБ	
I4. Коэффициент электромагнитического преобразования ПФАП					

	1	2	3	4	5
не менее		10^{-10} м/в	10^{-13} м/в	10^{-13} м/в	10^{-10} м/в
15. Диаметр кон- тактной по- верхности ат- тестуемого ПП АЭ		(8+20)мм	(6+40)мм	(15+40)мм	(2+4),(4+8), (2+12)мм
16. Диаметр эф- фективной по- верхности ат- тестуемого ПП АЭ		(8+15)мм	(3+20)мм	(10+20)мм	(1,5+2,5), (3+5),(6+9)мм
17. Внешний диаметр ат- тестуемого ПП АЭ, не более	50 мм	40 мм	40 мм	50 мм	
18. Шероховатость контактной поверхности аттестуемого ПП АЭ		не более 10 мкм			
19. Шероховатость контактной поверхности меры УЗ смещений		не более 0,63 мкм			
20. Неплоскост- ность кон- тактной по- верхности ат- тестуемого ПП АЭ		не более 100 мкм			
21. Неплоскост- ность кон- тактной по- верхности ме- ры УЗ смещений		не более 10 мкм			
22. Режим работы	непрерывный и импульс- ный	непрерывный	непрерывный	непрерыв- ный и им- пульсный	
23. Полоса час- тот ГКШ	$(0,1+2)$ МГц	$(0,1+2)$ МГц	$(0,1+2)$ МГц	$(0,0220,5)$ МГц	
24. Действительное значение напря- жения ГКШ на нагрузке, состо- ящей из	параллельного соединения $C = 10000$ пФ и $R = 25$ Ом, не менее 0,1 В в полосе частот 30 кГц			$C=2,500$ пФ не менее 0,1 В в полосе 3,0 кГц	

1	2	3	4	5
25. Спектральная характеристика шума	по форме обратная АЧХ возбуждаемой ПФАП с погрешностью не более 10%			

Примечание: 1. Допускается применять другие меры, взамен указанных, имеющих параметры не хуже указанных.

2. Если ПП АЭ входит в состав АЭ прибора общего назначения, у которого параметры объекта контроля и тип воли заранее не могут быть указаны, то для обеспечения взаимозаменяемости и сходимости результатов измерения рекомендуется измерять характеристики ПП АЭ на мерах МСУП и МСУС-М.
3. В комплект мер (МСУП, МСУС-М) может входить серийно выпускаемый генератор (Г5-56), либо нестандартный специализированный генератор, имеющий соответствующие параметры.
4. Приведенные в таблице меры сменений могут быть использованы для аттестации ПП АЭ с 2 электрическими выходами (дифференциальные) по отдельной методике, в которой указаны определяемые параметры ПП АЭ и условия измерения.

Приложение 4
(справочное)

Рекомендации по испытаниям
характеристик и параметров ПЛАЭ

Нр	Название характеристик и параметров ПЛАЭ	Рекомендуется измерять					
		1	2	3	4	5	6
		при аттестации ПЛАЭ общего назначения, используемых для обнаружения и измерения	в процессе обнаружения и обнаружения	разработкой АЭ	перед разработкой ПЛАЭ методами инженерного контроля		
I	Амплитудно-частотные характеристики АЧХ	+	+	+	+	+	+
I.2.	Частоты максимумов преобразования f_1, f_2, \dots	+	+	+			+
I.3.	Коэффициенты электроакустического преобразования на частотах максимумов K_1, K_2, \dots	+		+			+
I.4.	Полюсы пропускания $\Delta f_1, \Delta f_2$	+					+
I.5.	Рабочий диапазон частот f_H, f_B	+					+
I.6.	Средний коэффициент преобразования $K_{ср}$	+		+			+
I.7.	Неравномерность в名义ном диапазоне частот В	+					
2.	Импульсная характеристика	+				+	+
2.1.	Коэффициент импульсного преобразования K_I	+					+
2.2.	Длительность сглаженной переднего фронта T_{max}	+					
2.3.	Длительность импульсной характеристики T_N	+					
2.4.	Средняя частота запирания T	+					
3.	Диаграмма направленности в плоскости рабочей поверхности	+				+	
3.1.	Неравномерность В	+					
3.2.	Акустический центр рабочей поверхности О	+					

	1	2	3	4	5	6
4.	Электрический импеданс		+		+	
4.1.	Частоты антирезонансов				(+)	
4.2.	Модули электрических сопротивлений на частотах антирезонансов					+

Примечания: 1. Выбор аттестуемых характеристик и параметров ПП АЭ производится с учетом табл. I

2. ПП АЭ, имеющие утвержденную НТД, аттестуются по параметрам, указанным в НТД.
3. (+) - измеряются при согласовании с конкретными электронными блоками приборов АЭ.
4. ПП, селективные и типу волны, аттестуются при указанном типе волнового воздействия. Остальные ПП аттестуются на тип волнового воздействия, указываемого лицами, эксплуатирующими данные ПП.
5. ПП АЭ с чардной АЧХ рекомендуется применять только в приборах для обнаружения АЭ.
6. Неравномерность в рабочей полосе частот определяется для тех широкополосных ПП АЭ, у которых в НТД задан номинальный диапазон частот.
7. Импульсная характеристика и диаграмма направленности в импульсном режиме измеряется при аттестации ПП АЭ, работающих при приеме импульсных сигналов.
8. Амплитудно-частотная характеристика и диаграмма направленности в стационарном шумовом режиме измеряется при аттестации ПП АЭ, работающих при приеме непрерывных шумовых сигналов.
9. Параметры импульсной характеристики измеряются только для широкополосных и однорезонансных ПП АЭ.
10. Акустический центр рабочей поверхности измеряется при аттестации ПП АЭ, используемых в приборах для точного определения координат АЭ на объектах малых размеров.

Приложение 6
(справочное)

Методика определения коэффициентов
электроакустического и импульсного
преобразования с помощью аттенюатора

Для более точного измерения коэффициентов преобразования Ш АЭ используется аттенюатор. Характеристики аттенюатора: рабочий диапазон частот ($0,02\text{--}2$) МГц, диапазон ослабления амплитуд радиоимпульсов аттенюатора ($0\text{--}80$) дБ, дискретность ослабления 0,1 дБ, предел допустимого значения погрешности аттенюатора для ослабления до 10 дБ включительно $\pm 0,1$ дБ, выше 10 до 80 дБ включительно $\pm 0,2$ дБ, волновое сопротивление аттенюатора ($50\pm 0,75$) Ом. Рекомендуемый тип аттенюатора АД-30, разработка НИО "Дальстандарт".

Для измерения коэффициентов электроакустического преобразования Ш АЭ необходимо собрать схему по рис. 1.

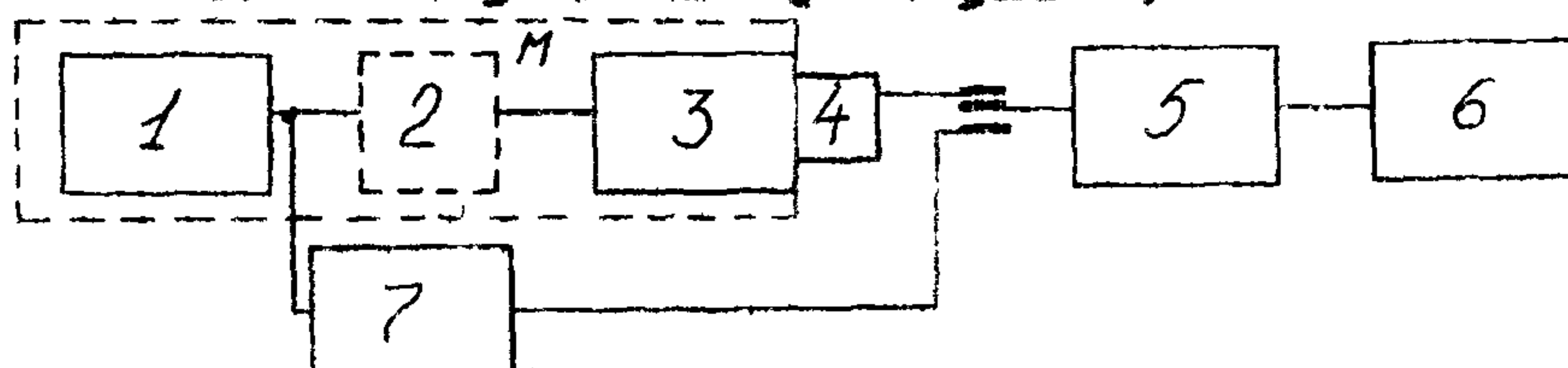


Рис. 1

1 - генератор корректированного шума (либо генератор гармонического сигнала с перестраиваемой частотой, входящий в комплект анализатора С44-59, подключенный с дополнительным низкочастотным делителем);

2 - интегрирующая цепочка, имеющая характеристику $\frac{1}{\omega^2}$, подключаемая для измерения коэффициента электроакустического преобразования по скорости (погрешность реализации функции $\frac{1}{\omega^2}$ не более 5%);

3 - ПОАЦ;

4 - изготавляемый Ш АЭ;

5 - предусилитель;

6 - анализатор спектра;

7 - аттенюатор.

Сигнал с выхода генератора 1 через тракт 2-3-4-5 подается на вход аттенюатора и на экран ЭИГ фиксируется максимальная амплитуда спектра сигнала. Затем, вместо тракта, 3-4 включается аттенюатор 2. Ручкой аттенюатора выставляется амплитуда сигнала на экране ЭИГ амплометра, соответствующая ранее зафиксированному.

Коэффициент электроакустического преобразования определяют по формуле:

$$K = \frac{1}{\eta_{\text{ПФАП}} \cdot 10^{\frac{B}{20}}} \text{ В/Н} . \quad (1)$$

При подключении интегральной цепочки коэффициент электроакустического преобразования определяют по формуле:

$$K = \frac{1}{\eta_{\text{ПФАП}} \cdot 10^{\frac{B}{20}} \cdot \frac{1}{j\omega}} \text{ В/(м/с)} \quad (2)$$

где $\eta_{\text{ПФАП}}$ – коэффициент преобразования ПФАП (м/В) на частоте (частотах для измерений) максимума преобразования Ш АЭ (приводится в паспорте);

B – перед амплитуд, отсчитанный по аттенюатору, до $\omega = 2\pi f$ – круговая частота.

Для измерения коэффициента импульсного преобразования необходимо собрать схему из рис. 2

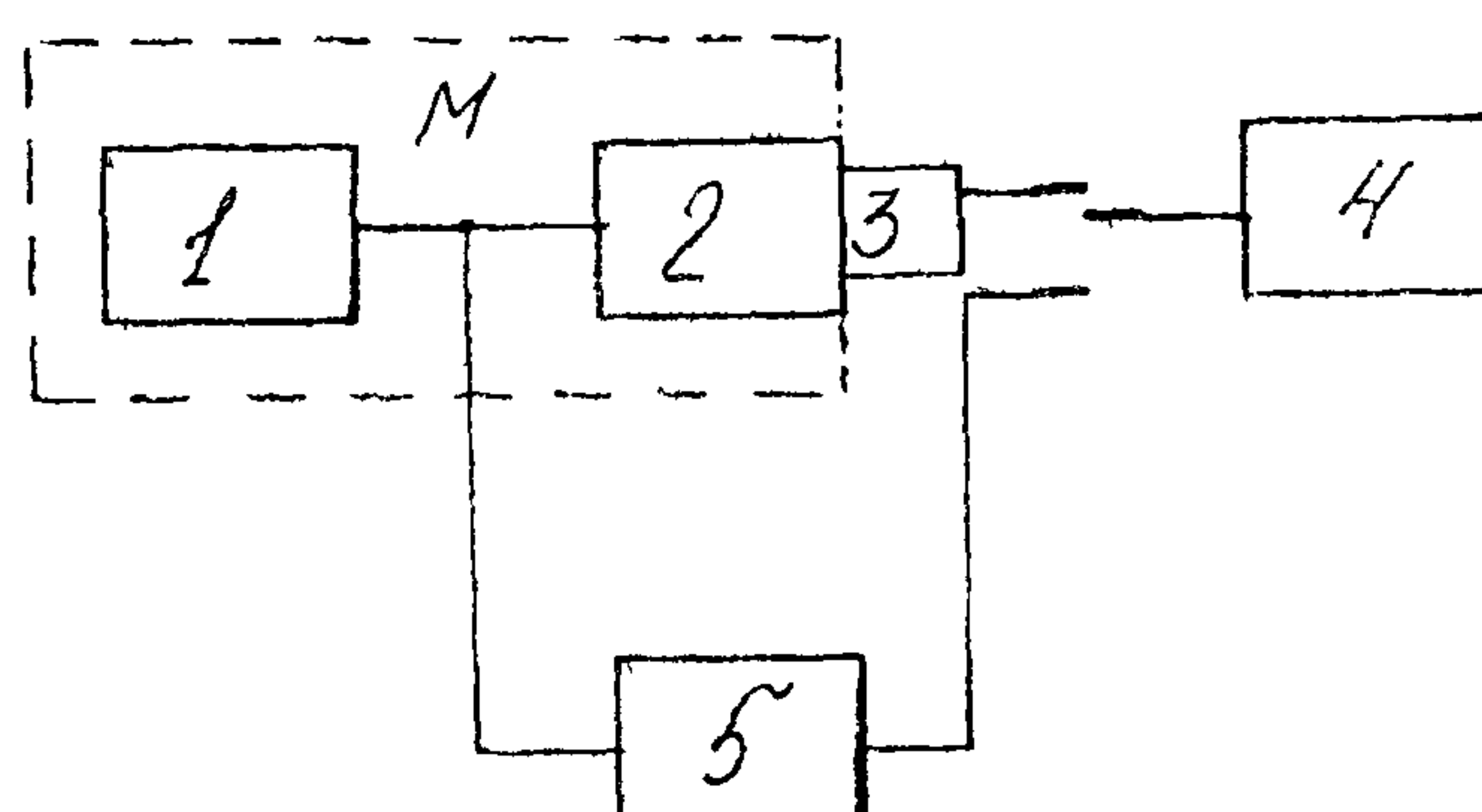


Рис. 2